

Werk

Label: Article

Jahr: 1934

PURL: https://resolver.sub.uni-goettingen.de/purl?31311028X_0063|log97

Kontakt/Contact

Digizeitschriften e.V.
SUB Göttingen
Platz der Göttinger Sieben 1
37073 Göttingen

✉ info@digizeitschriften.de

ČASOPIS PRO PĚSTOVÁNÍ MATEMATIKY A FYSIKY

ČÁST FYSIKÁLNÍ

Fysikální metoda analyse křivek napětí a proudu.

Prof. Ing. L. Šimek.

(Došlo 3. října 1933.)

Obsah: Autor pojednává o nové metodě pro jednoduché a rychlé určení amplitud a fází vyšších harmonických výsečníků proudů. Popisuje aparaturu, způsob měření a na konec podává výsledky srovnávacího měření.

1. Podklady metody. Východiskem nové metody je známá metoda Houston-Kenellyho, jež se zakládá na následujícím matematickém poznatku:

Rozdělme libovolným bodem počínaje (obr. 1) úsečku obsahující n vln sinusovky na m sudých dílů a určme si součet ploch omezených dělícími pořadnicemi a sinusovkou, počítajíce pouze plochy s lichými indexy

$$S = s_1 + s_3 + s_5 + \dots$$

Pak o tomto součtu platí:

a) Není-li $2n/m = p$ číslem celým, je $S = 0$ pro libovolný počátek.

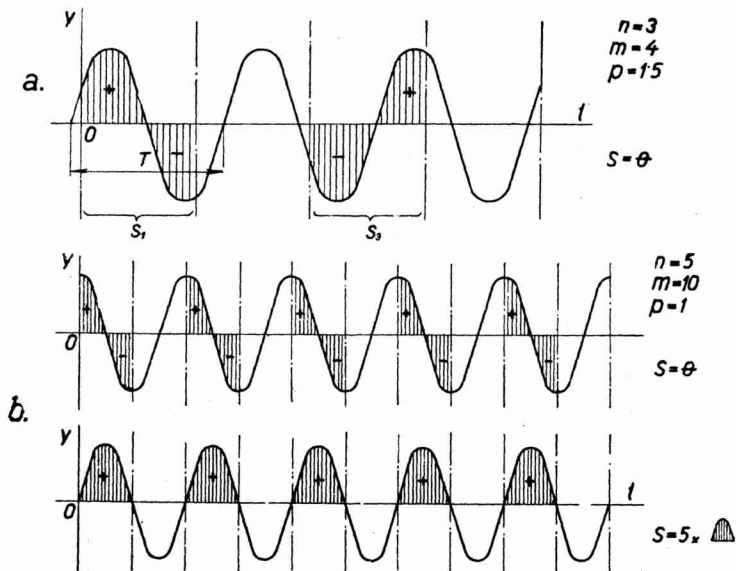
b) Je-li $2n/m = p$ číslem celým, pak $S = 0$ jen tehdy, procházejí-li dělící pořadnice vrcholy sinusovky, kdežto procházejí-li nulovými body sinusovky, pak $S = \frac{1}{2}m \times$ plocha jedné půlvlny. Když výsečník průběhu rozložíme na jednotlivé harmonické a pro ně aplikujeme uvedený poznatek jednou pro zvolenou základní polohu, po druhé pro počátek pošinutý o úhel $\frac{1}{4}\pi$, při čemž postupně volíme za $m = 2, 6, 10, 14, \dots$, dostaneme řadu rovnic, které při známých hodnotách S umožňují vypočítati amplitudy \sin a \cos členů Fourierovy řady. To platí prozatím pro liché harmonické.

Vlastní analyse podle metody Houston-Kenellyho pak spočívá v postupném rozdělování jedné vlny výsečníku průběhu na $2, 6, 10, 14, \dots$ dílů (jen pro liché harmonické) jednou pro zvolený počátek, po druhé pro počátek pošinutý o $\frac{1}{4}\pi$, z planimetrování příslušných ploch a z výpočtu. Tento způsob je však zdlouhavý (planimetrování) a také nepřesný, jelikož vedle chyb vlastní metody objevují se ve výsledcích též chyby metod, kterých bylo při získání oscilogramu použito.

Navržená metoda nahrazuje planimetrování přímým měřením střední hodnoty uvažovaných ploch. Za tím účelem vede se proud

přes přerušovač propouštějící pouze vhodné úseky z analysovaného průběhu do měřicího přístroje s permanentním magnetem na př. deprezského, který, jak známo, ukazuje přesně střední hodnotu proudových úseků.

Pro střední hodnoty vícevlnného průběhu postupně přerušovaného v době jedné periody na $m = 2, 4, 6, 8, \dots$ dílů, t. j. pro



Obr. 1.

všechny harmonické (bez stejnosměrného členu), možno vyvodit aplikaci matematické poučky z metody Houston-Kenellyho nebo souborným matematickým rozborom (viz následující článek od Ing. Kneppa) následující rovnice:

1. Pro libovolně zvolený počátek

$$\left. \begin{aligned} y_{s1} &= \frac{1}{\pi} (a_1 + \frac{1}{3}a_3 + \frac{1}{5}a_5 + \frac{1}{7}a_7 + \frac{1}{9}a_9 + \dots) \\ y_{s2} &= \frac{1}{\pi} (a_2 + \frac{1}{3}a_6 + \frac{1}{5}a_{10} + \dots) \\ y_{s3} &= \frac{1}{\pi} (a_3 + \frac{1}{3}a_9 + \frac{1}{5}a_{15} + \dots) \\ y_{s4} &= \frac{1}{\pi} (a_4 + \frac{1}{3}a_{12} + \frac{1}{5}a_{20} + \dots) \end{aligned} \right\} \quad (1)$$

$$\left. \begin{array}{l} y_{s5} = \frac{1}{\pi} (a_5 + \frac{1}{3}a_{15} + \frac{1}{5}a_{25} + \dots) \\ y_{s6} = \frac{1}{\pi} (a_6 + \frac{1}{3}a_{18} + \frac{1}{5}a_{30} + \dots) \\ y_{s7} = \frac{1}{\pi} (a_7 + \frac{1}{3}a_{21} + \frac{1}{5}a_{35} + \dots) \\ y_{s8} = \frac{1}{\pi} (a_8 + \frac{1}{3}a_{24} + \frac{1}{5}a_{40} + \dots) \\ y_{s9} = \frac{1}{\pi} (a_9 + \frac{1}{3}a_{27} + \frac{1}{5}a_{45} + \dots) \\ \text{atd.} \end{array} \right\} \quad (1)$$

2. Pro počátky pošinuté vzhledem k zvolenému proti směru času o úhly $\frac{1}{2}\pi$ v míře příslušné harmonické, t. j. když dělení

$$m = 2, 4, 6, 8, \dots$$

odpovídají korespondující úhly

$$\pi/m = \frac{1}{2}\pi, \frac{1}{4}\pi, \frac{1}{6}\pi, \frac{1}{8}\pi, \dots$$

v míře základní harmonické

$$\left. \begin{array}{l} y'_{s1} = \frac{1}{\pi} (b_1 - \frac{1}{3}b_3 + \frac{1}{5}b_5 - \frac{1}{7}b_7 + \frac{1}{9}b_9 - \dots) \\ y'_{s2} = \frac{1}{\pi} (b_2 - \frac{1}{3}b_6 + \frac{1}{5}b_{10} - \dots) \\ y'_{s3} = \frac{1}{\pi} (b_3 - \frac{1}{3}b_9 + \frac{1}{5}b_{15} - \dots) \\ y'_{s4} = \frac{1}{\pi} (b_4 - \frac{1}{3}b_{12} + \frac{1}{5}b_{20} - \dots) \\ y'_{s5} = \frac{1}{\pi} (b_5 - \frac{1}{3}b_{15} + \frac{1}{5}b_{25} - \dots) \\ y'_{s6} = \frac{1}{\pi} (b_6 - \frac{1}{3}b_{18} + \frac{1}{5}b_{30} - \dots) \\ y'_{s7} = \frac{1}{\pi} (b_7 - \frac{1}{3}b_{21} + \frac{1}{5}b_{35} - \dots) \\ y'_{s8} = \frac{1}{\pi} (b_8 - \frac{1}{3}b_{24} + \frac{1}{5}b_{40} - \dots) \\ y'_{s9} = \frac{1}{\pi} (b_9 - \frac{1}{3}b_{27} + \frac{1}{5}b_{45} - \dots) \\ \text{atd.} \end{array} \right\} \quad (2)$$

3. Pro jednotně pošinutý počátek proti směru času o úhel $\frac{1}{2}\pi$ v míře základní harmonické dostáváme vhodné rovnice jen při dělení na $m = 2, 6, 10, 14, \dots$ (t. j. pouze pro liché harmonické)

$$\left. \begin{array}{l} y'_{s_1} = \frac{1}{\pi} (b_1 - \frac{1}{3}b_3 + \frac{1}{5}b_5 - \frac{1}{7}b_7 + \frac{1}{9}b_9 - \dots) \\ y'_{s_3} = -\frac{1}{\pi} (b_3 - \frac{1}{3}b_9 + \frac{1}{5}b_{15} - \dots) \\ y'_{s_5} = \frac{1}{\pi} (b_5 - \frac{1}{3}b_{15} + \frac{1}{5}b_{25} - \dots) \\ y'_{s_7} = -\frac{1}{\pi} (b_7 - \frac{1}{3}b_{21} + \frac{1}{5}b_{35} - \dots) \\ y'_{s_9} = \frac{1}{\pi} (b_9 - \frac{1}{3}b_{27} + \frac{1}{5}b_{45} - \dots) \end{array} \right\} \quad (2')$$

Při daných y_s, y'_s můžeme pak vypočítat a_k, b_k řešením rovnic (1), (2) resp. (2'). Přestaváme-li s členy pro devátou harmonickou pak bude

$$\left. \begin{array}{l} a_1 = \pi (y_{s_1} - \frac{1}{3}y_{s_3} - \frac{1}{5}y_{s_5} - \frac{1}{7}y_{s_7}) \\ a_2 = \pi (y_{s_2} - \frac{1}{3}y_{s_6}) \\ a_3 = \pi (y_{s_3} - \frac{1}{3}y_{s_9}) \\ a_4 = \pi \cdot y_{s_4} \\ a_5 = \pi \cdot y_{s_5} \\ a_6 = \pi \cdot y_{s_6} \\ a_7 = \pi \cdot y_{s_7} \\ a_8 = \pi \cdot y_{s_8} \\ a_9 = \pi \cdot y_{s_9} \end{array} \right\} \quad (3)$$

$$\left. \begin{array}{l} b_1 = \pi (y'_{s_1} + \frac{1}{3}y'_{s_3} - \frac{1}{5}y'_{s_5} + \frac{1}{7}y'_{s_7}) \\ b_2 = \pi (y'_{s_2} + \frac{1}{3}y'_{s_6}) \\ b_3 = \pi (y'_{s_3} + \frac{1}{3}y'_{s_9}) \\ b_4 = \pi \cdot y'_{s_4} \\ b_5 = \pi \cdot y'_{s_5} \\ b_6 = \pi \cdot y'_{s_6} \\ b_7 = \pi \cdot y'_{s_7} \\ b_8 = \pi \cdot y'_{s_8} \\ b_9 = \pi \cdot y'_{s_9} \end{array} \right\} \quad (4)$$

resp. když měříme při jednotném pošinutí o $\frac{1}{2}\pi$

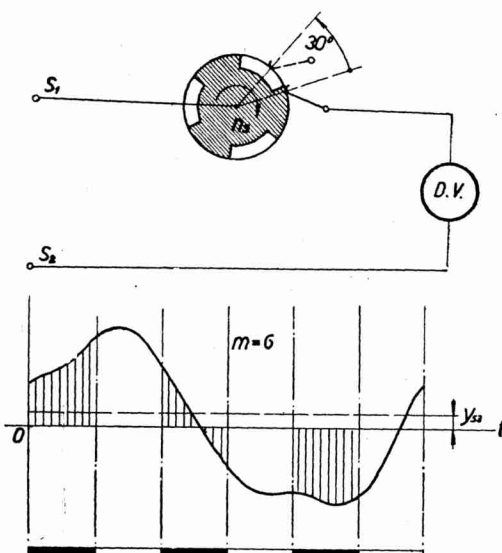
$$\left. \begin{array}{l} b_1 = \pi (y'_{s_1} - \frac{1}{3}y'_{s_3} - \frac{1}{5}y'_{s_5} - \frac{1}{7}y'_{s_7} - \frac{1}{9}y'_{s_9}) \\ b_3 = -\pi (y'_{s_3} - \frac{1}{3}y'_{s_9}) \\ b_5 = \pi \cdot y'_{s_5} \\ b_7 = -\pi \cdot y'_{s_7} \\ b_9 = \pi \cdot y'_{s_9} \end{array} \right\} \quad (4')$$

Z hodnot a_k, b_k podle vzorek

$$A_k = \sqrt{a_k^2 + b_k^2}, \quad \varphi_k = \arctg b_k/a_k$$

vypočteme amplitudy a fáze harmonických a pak analytický výraz průběhu ve formě Fourierovy řady bude dán

$$y = A_1 \sin(\omega t + \varphi_1) + A_2 \sin 2(\omega t + \varphi_2) + A_3 \sin 3(\omega t + \varphi_3) + \dots$$



Obr. 2.

2. Popis nové metody. Přerušovač nazvaný kontaktním přístrojem pozůstává z řady kontaktních válečků namontovaných na společné ose a postupně dělených na 2, 4, 6, ... stejných dílů. Lamely ob jeden jsou spojeny vodivě mezi sebou. Na válečky doléhá kartáček, který možno vhodnou úpravou kartáčkového držáku posouvat ve směru osy s jednoho válečku na druhý a natáčet kol této osy. Válečky se otácejí synchronně s analysovaným průběhem.

Připojíme-li pak na svorky S_1, S_2 (obr. 2), na kterých chceme měřiti průběh napěti přes kontaktní váleček mající na př. 3 lamely spolu vodivě spojeny ($m = 6$), deprézský voltmetr, bude nám kontaktní váleček propouštěti pouze čárkované impulsy, jejichž střední hodnotu y_{s3} ukáže přímo voltmetr. Natočením kartáčku proti směru točení (t. j. proti směru času) o úhel $\alpha = 30^\circ$ v míře základní harmonické čteme druhou střední hodnotu y'_{s3} .

Pro úplné určení průběhu přestávajice devátou harmonickou potřebujeme 9 kontaktních válečků majících 1, 2, 3, ..., 9 vodivě spolu spojených lamel. Měření můžeme začít z libovolné polohy kartáčku a prostým jeho přesouváním na jednotlivé válečky určíme si devět hodnot y_s . Pak postupným natáčením kartáčkového držáku vzhledem k zvolené základní poloze o úhly 45° , $22^\circ 30'$, $11^\circ 15'$, $5^\circ 37,5'$ na válečcích 2, 4, 6, 8 (sudé harmonické) a jednotným natočením o 90° na válečcích 1, 3, 5, 7, 9 (liché harmonické) odečteme 9 hodnot y'_s . Obsahuje-li analysovaný průběh ještě stejnosměrný člen, pak je nutno určiti též střední hodnotu nedělené vlny a pro výpočet použiti vzorců (3), (9) odvozených v následujícím článku. Z naměřených hodnot pak podle vzorců (3), (4') vypočteme si amplitudy a fáze jednotlivých harmonických. Celé měření se tedy zredukuje na 18 jednoduchých úkonů, což vzhledem k jiným metodám znamená značnou úsporu času.

Pomocí kontaktního přístroje můžeme přibližně určiti též přímo amplitudu a fázi hledané harmonické. Natáčením kartáčku na kontaktním válečku pro $m = 2$, t. j. odpovídající první harmonické, vyhledáme místo, kdy výchylka na měřicím aparátě vymizí. Pak přesuneme kartáček na kontaktní váleček příslušný hledané harmonické a natáčíme jej ve směru času tak dlouho, až odchylka na měřicím aparátu opět vymizí. Úhel, o který jsme natočili kartáček vzhledem k základní poloze první harmonické, udává přímo fázi φ_k . Dalším natočením kartáčku o 90° v míře k -té harmonické, t. j. o úhel $90^\circ/k$ na kontaktním přístroji, dostaneme výchylku měřicího aparátu udávající přibližně

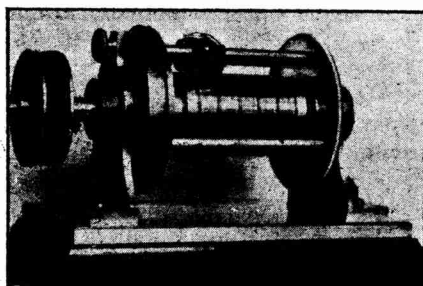
$$y_{sk} \doteq A_k/\pi.$$

Prohlédnutím rovnic (1), (2) z prosté úvahy vyplývá, že při tomto způsobu zanedbáváme vliv vyšších harmonických, které při měření na příslušném kontaktním válečku přicházejí ještě v úvahu. (Na př. při určování třetí harmonické jsou to členy A_9 , A_{15} , ... atd.) Proto toto měření se pravidelně hodí jen pro stanovení vyšších harmonických než třetí.

3. Provedení kontaktního přístroje. Na obr. 3 je fotografie kontaktního přístroje zhotoveného v našem ústavě. Kontaktní válečky jsou nasazeny na společné ose a jsou prozatím provedeny pouze pro určování lichých harmonických přestávaje na deváté. Z vyobrazení jest viditelná úprava kartáčkového držáku a jeho vedení dovolující natáčení a posouvání kartáčku. Mechanickou obtíž činí zhotovení správného kartáčku. Po zkouškách s uhlobronzovými kartáčky a z kovového pletiva nejlépe se osvědčily kartáčky zhotovené z 5 antifrikčních plíšků 0,05 mm silných, vložených mezi dva ocelové plíšky o tloušťce 0,08 mm. Segmenty kontaktních válečků jsou z tvrdého taženého bronzu. Pomýšlíme ještě

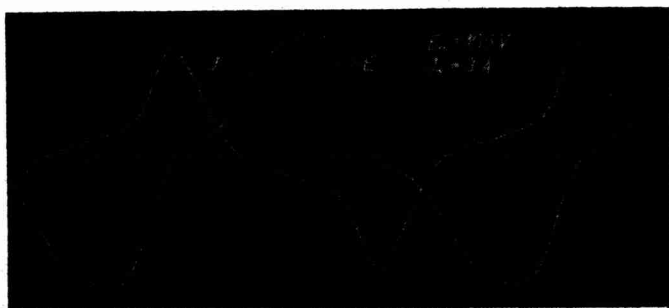
místo kartáčku použití rtuťového praménku, provedení jest však prozatím z nedostatku finančních prostředků oddáleno.

4. Srovnávací měření s novým přístrojem. Za účelem verifikace správnosti této metody provedlo se několik srovnávacích měření. Jedno z nich podávám, při kterém se zjišťoval průběh napětí



Obr. 3.

a proudu procházejícího závity navinutých na železném prstenci složeném z plechů. Za účelem větší deformace průběhů bylo železo silněji nasyceno a do obvodu se vložil ohmický odpor. K vůli vyloučení vlivu indukce v obvodu měřicího přístroje užily se předřazené



Obr. 4.

odpory ve vinutí Chaperonově, při měření intenzity bylo použito většího zcela neinduktivního shuntu a přístroji se ještě předřadilo 100Ω Chaperonova odporu.

Současně s měřením podle nové metody provedeno oscilografování (obr. 4) a rozklad oscilogramu na jednotlivé harmonické s Maderovým analysátorem.